

View Opti Linear

Design iGuzzini /
Arup

iGuzzini

Ultimo aggiornamento delle informazioni: Maggio 2024

Configurazione di prodotto: N996

N996: corpo medio - warm white - ottica wide flood



Codice prodotto

N996: corpo medio - warm white - ottica wide flood **Attenzione! Codice fuori produzione**

Descrizione tecnica

Proiettore orientabile con adattatore per installazione su binario tensione di rete per sorgente LED PCB lineare in tonalità Warm White (3000K). Prodotto completo di riflettore realizzato in alluminio super puro anodizzato al fine di garantire una distribuzione luminosa wide flood. Alimentatore elettronico integrato all'interno del corpo. Vano ottico realizzato in alluminio pressofuso. Rotazione di 360° attorno all'asse verticale e un'inclinazione di 90° rispetto al piano orizzontale. Dissipazione del calore passiva. Possibilità di installazione di diversi accessori esterni tra cui schermo antiabbagliamento e schermo asimmetrico.

Installazione

A binario elettrificato o su basetta

Colore

Nero (04) | Bianco/Nero (47)

Peso (Kg)

1.35

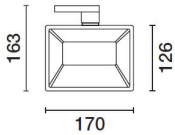
Montaggio

binario trifase|a soffitto

Cablaggio

Prodotto completo di componentistica elettronica

Soddisfa EN60598-1 e relative note



Dati tecnici

| | | | |
|--|------------|------------------------------------|---------------------------------|
| Im di sistema: | 2520 | CRI (minimo): | 90 |
| W di sistema: | 38.6 | Temperatura colore [K]: | 3000 |
| Im di sorgente: | 2800 | MacAdam Step: | 2 |
| W di sorgente: | 33 | Life Time LED 1: | > 50,000h - L80 - B10 (Ta 25°C) |
| Efficienza luminosa (lm/W, dati di sistema): | 65.3 | Codice lampada: | LED |
| Im in modalità emergenza: | - | Numero di lampade per vano ottico: | 1 |
| Flusso totale emesso a 90° o superiore [Lm]: | 0 | Codice ZVEI: | LED |
| Light Output Ratio (L.O.R.) [%]: | 90 | Numero di vani ottici: | 1 |
| Angolo di apertura [°]: | 80° / 106° | | |

Polare

| | | | | | | |
|--|---|------|-----|-----|-----|------------------|
| <p>Imax=1236 cd C5-185 γ=20° 90° 180° 90° 1000 0° α=80° / 106°</p> | <p>CIE nL 0.90 64-92-99-100-90 UGR 25,8-31,8 DIN A.51 UTE 0.90C+0.00T F*1=642 F*1+F*2=917 F*1+F*2+F*3=991</p> | Lux | | | | |
| | | h | d1 | d2 | Em | E _{max} |
| | | 1 | 1.7 | 2.7 | 766 | 1140 |
| | | 2 | 3.4 | 5.3 | 191 | 285 |
| | | 3 | 5 | 8 | 85 | 127 |
| 4 | 6.7 | 10.6 | 48 | 71 | | |

Coefficienti di utilizzazione

| R | 77 | 75 | 73 | 71 | 55 | 53 | 33 | 00 | DRR |
|------|----|----|----|----|----|----|----|----|-----|
| K0.8 | 66 | 58 | 53 | 49 | 57 | 52 | 52 | 47 | 52 |
| 1.0 | 72 | 65 | 60 | 56 | 63 | 59 | 58 | 53 | 59 |
| 1.5 | 80 | 75 | 70 | 67 | 73 | 69 | 68 | 64 | 71 |
| 2.0 | 85 | 80 | 77 | 74 | 79 | 76 | 75 | 71 | 78 |
| 2.5 | 87 | 84 | 81 | 78 | 82 | 80 | 79 | 75 | 83 |
| 3.0 | 89 | 86 | 84 | 82 | 85 | 82 | 81 | 78 | 86 |
| 4.0 | 91 | 89 | 87 | 85 | 87 | 86 | 84 | 81 | 90 |
| 5.0 | 92 | 91 | 89 | 87 | 89 | 87 | 86 | 82 | 92 |

Curva limite di luminanza

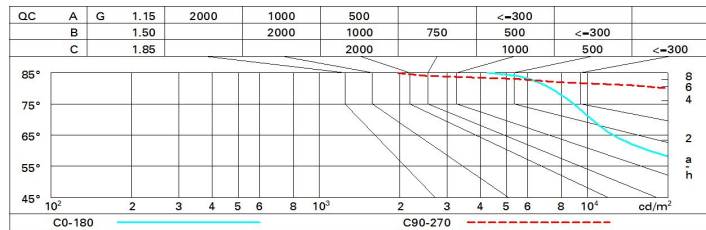


Diagramma UGR

| Corrected UGR values (at 2800 lm bare lamp luminous flux) | | | | | | | | | | | |
|---|------|------------------|------|------|------|------|----------------|------|------|------|------|
| Reflect.: | | viewed crosswise | | | | | viewed endwise | | | | |
| ceil/cav | | 0.70 | 0.70 | 0.50 | 0.50 | 0.30 | 0.70 | 0.70 | 0.50 | 0.50 | 0.30 |
| walls | | 0.50 | 0.30 | 0.50 | 0.30 | 0.30 | 0.50 | 0.30 | 0.50 | 0.30 | 0.30 |
| work pl. | | 0.20 | 0.20 | 0.20 | 0.20 | 0.20 | 0.20 | 0.20 | 0.20 | 0.20 | 0.20 |
| Room dim | | | | | | | | | | | |
| x | y | | | | | | | | | | |
| 2H | 2H | 25.3 | 26.2 | 25.6 | 26.4 | 26.7 | 30.6 | 31.4 | 30.9 | 31.7 | 31.9 |
| | 3H | 25.2 | 26.0 | 25.5 | 26.3 | 26.6 | 30.6 | 31.4 | 30.9 | 31.6 | 31.9 |
| | 4H | 25.2 | 25.9 | 25.5 | 26.2 | 26.5 | 30.5 | 31.3 | 30.9 | 31.6 | 31.9 |
| | 6H | 25.1 | 25.8 | 25.5 | 26.1 | 26.4 | 30.4 | 31.1 | 30.8 | 31.4 | 31.8 |
| | 8H | 25.1 | 25.7 | 25.5 | 26.1 | 26.4 | 30.4 | 31.1 | 30.8 | 31.4 | 31.7 |
| 12H | 25.1 | 25.7 | 25.4 | 26.0 | 26.4 | 30.4 | 31.0 | 30.8 | 31.3 | 31.7 | |
| 4H | 2H | 26.0 | 26.7 | 26.3 | 27.0 | 27.3 | 31.7 | 32.4 | 32.0 | 32.7 | 33.0 |
| | 3H | 25.9 | 26.6 | 26.3 | 26.9 | 27.3 | 31.9 | 32.5 | 32.3 | 32.8 | 33.2 |
| | 4H | 25.9 | 26.4 | 26.3 | 26.8 | 27.2 | 31.9 | 32.4 | 32.3 | 32.8 | 33.2 |
| | 6H | 25.9 | 26.3 | 26.3 | 26.7 | 27.2 | 31.8 | 32.3 | 32.2 | 32.7 | 33.1 |
| | 8H | 25.8 | 26.3 | 26.3 | 26.7 | 27.1 | 31.8 | 32.2 | 32.2 | 32.6 | 33.1 |
| 12H | 25.8 | 26.2 | 26.2 | 26.6 | 27.1 | 31.7 | 32.1 | 32.2 | 32.6 | 33.0 | |
| 8H | 4H | 26.1 | 26.5 | 26.5 | 26.9 | 27.4 | 32.0 | 32.4 | 32.4 | 32.8 | 33.2 |
| | 6H | 26.0 | 26.4 | 26.5 | 26.8 | 27.3 | 31.9 | 32.3 | 32.4 | 32.8 | 33.2 |
| | 8H | 26.0 | 26.3 | 26.5 | 26.8 | 27.3 | 31.9 | 32.2 | 32.4 | 32.7 | 33.2 |
| | 12H | 26.0 | 26.2 | 26.5 | 26.7 | 27.2 | 31.9 | 32.1 | 32.4 | 32.6 | 33.2 |
| 12H | 4H | 26.1 | 26.5 | 26.5 | 26.9 | 27.4 | 31.9 | 32.3 | 32.4 | 32.7 | 33.2 |
| | 6H | 26.1 | 26.4 | 26.5 | 26.8 | 27.3 | 31.9 | 32.2 | 32.4 | 32.7 | 33.2 |
| | 8H | 26.0 | 26.3 | 26.5 | 26.8 | 27.3 | 31.9 | 32.2 | 32.4 | 32.6 | 33.2 |
| Variations with the observer position at spacing: | | | | | | | | | | | |
| S = | 1.0H | 1.7 / -3.2 | | | | | 0.4 / -0.4 | | | | |
| | 1.5H | 2.7 / -5.4 | | | | | 0.6 / -1.2 | | | | |
| | 2.0H | 3.9 / -6.7 | | | | | 1.5 / -1.8 | | | | |